

УДК 681.142.353

**УПРАВЛЕНИЕ И КОНТРОЛЬ
КРИОТРОННОЙ ВЫЧИСЛИТЕЛЬНОЙ СРЕДЫ**

В.Ф.Гурко

В работе описываются схемы управления и контроля криотронной вычислительной среды. Рассматриваются некоторые виды неисправностей, и предлагается метод контроля настроичного поля и элементов вычислительной среды.

I. Схемы управления вычислительной средой

Блок-схема макета криотронной вычислительной среды показана на рис. I. Здесь I - поле элементов вычислительной среды, \mathcal{D}_1 , \mathcal{D}_2 - соответственно пирамидальные дешифраторы вертикальных и горизонтальных настроечных шин и блок индикации, II - блок памяти дешифратора горизонтальных шин, III - криотронный генератор релаксационных колебаний (КГРК) [I] блока индикации.

Схема элемента вычислительной среды приведена на рис. 2. Элемент содержит три настроечных контура α_1 , α_2 , α_3 и три информационные ветви A, B, В. Кристалл K выполняет переключательную функцию нормально-замкнутого контакта. Настройка эле-

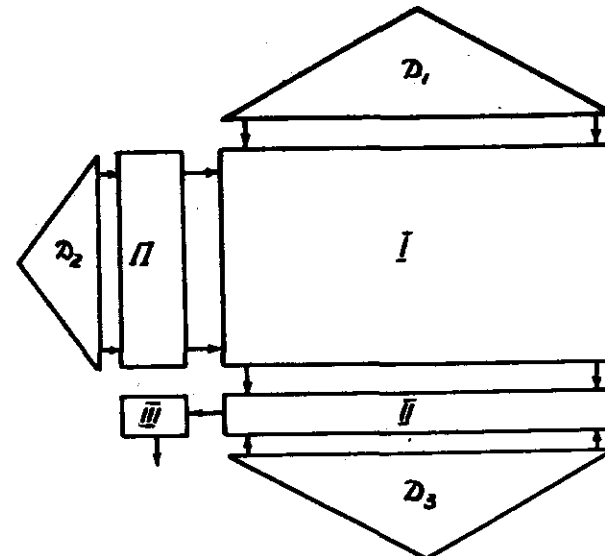


Рис. I

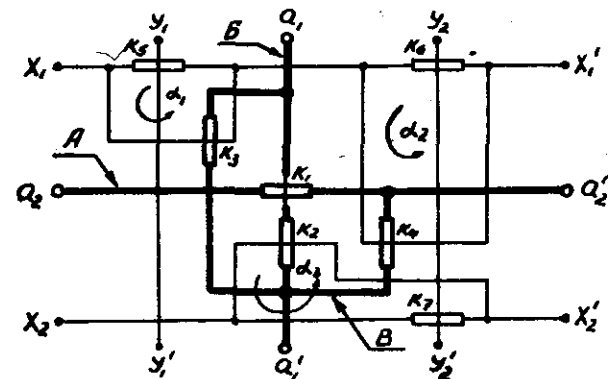


Рис. 2

мента на различные состояния [2], которыми должен обладать элемент вычислительной среды, осуществляется путем записи незатухающих токов $I_x > I_{ce}^{*}$ в α_1 , α_2 , α_3 , α_4 .

Табл. I характеризует состояние элемента в зависимости от записи тока в настроечные контуры.

Таблица I

Состояние	Контуры с током	Возбужденные криотроны
"P"	α_1	α_3
"D"	α_2	α_2, α_3
"F"	α_2	α_1, α_2

Схема пирамидального демодификатора на четыре выхода и два разряда входного кода показана на рис. 3. К каждому из его выходов подсоединяется нагрузка. При любом входном коде только в одной ветви сохраняется сверхпроводимость всех криотронов. В эту ветвь и устремляется ток питания J_0 демодификатора.

В вычислительной среде с элементами указанного типа настройка каждого отдельного элемента невозможна, так как при этом настроечный импульс в вертикальной шине уничтожит (согрет) первый

*) I_{ce} - критический ток сетки криотрона, при котором его вентиль переходит в нормальное состояние.

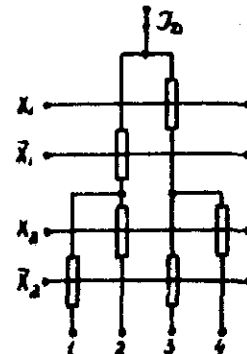


Рис. 3

исторные токи во всех остальных настроечных контурах этого столбца. Поэтому необходимо подавать одновременно все токи горизонтальных шин всех настраиваемых элементов данного столбца. Для этого используется схема, показанная на рис. 4, где β_i ($i = 1, 2, \dots, k$) - контуры памяти дешифратора горизонтальных шин, L_i ($i = 1, 2, \dots, k$) - индуктивности горизонтальных настроечных шин, J_{ce} - ток сброса, J_n - ток настройки, J_p - ток питания контуров памяти.

На рис. 5 показана схема блока индикации. В связи с тем, что в криотронной логике применяется метод бинарного кодирования, выходы α'_i последнего ряда элементов вычислительной среды объединены параллельно, так как сигнал может существовать только в одном из них. Сигнал, снимаемый с индикаторных криотронов K_u , мал

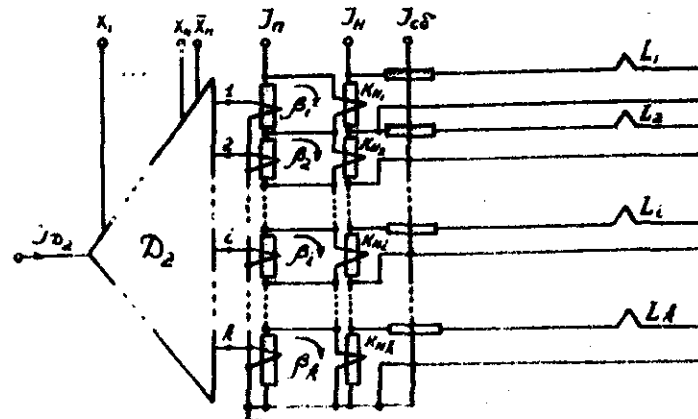


Рис. 4

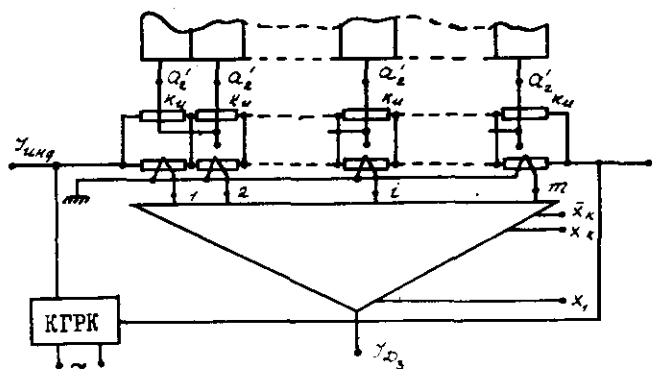


Рис. 5

($\sim 10 \mu\text{A}$), поэтому используется КГРК, позволяющий получать на выходе переменное напряжение ~ 10 мв. Для того, чтобы не вводить в схему большое число генераторов, используется схема "И" и один КГРК, который может быть попаременно подключен к любому выходу Q_i .

2. Метод и схемы контроля вычислительной среды

Основные причины неисправностей криотронных схем:

- 1) короткие замыкания,
- 2) несверхпроводимость какого-либо участка схемы,
- 3) разрывы проводников.

Короткие замыкания в схеме возникают между сеткой и вентилем криотронов, а также в местах пересечения проводников. Для плёночных схем возможно замыкание схемы на экран, который насыпается под (или над) всей схемой. Наличие коротких замыканий приводит к ветвлению тока в схеме и полной или частичной её неработоспособности.

Из-за причин 2 и 3 возникает один и тот же вид неисправности, потому что наличие несверхпроводящего участка в схеме равнозначно разрыву проводника. Такие неисправности в дальнейшем будем называть неисправностью вида "обрыв".

Таким образом, основные неисправности криотронных схем могут быть классифицированы на короткие замыкания и "обрывы".

Метод контроля криотронной вычислительной среды, рассматриваемый в данной работе, посвящен нахождению неисправностей вида "обрыв" в предположении, что все короткие замыкания найдены и устранены.

Причинами неисправностей элементов, устройств настройки и управления криотронной вычислительной среды являются следующие:

- 1) "обрывы" проводников в элементе вычислительной среды;
- 2) "обрывы" настроенных шин;
- 3) "обрывы" какого-либо выхода дешифратора;
- 4) "обрыв" в контуре β_i ;
- 5) "обрыв" вентиля K_{α_i} (рис. 2,3,4).

Указанные неисправности элемента, устройств настройки и управления криотронной вычислительной среды наиболее часто встречались при экспериментальной проверке макетов вычислительной среды*).

Виды неисправностей и функции, которые может выполнять элемент при указанном виде неисправности, приведены в табл.2. Неисправности в устройствах настройки и управления приводят к тому, что элементы целых столбцов (строк) не настраиваются на выполнение всех функций.

Проверка вычислительной среды проводится в следующей последовательности:

- A) Проверяется исправность устройств настройки и управления.
- B) Проверяется выполнение элементами всех функций.

A) Проверка устройств настройки и управления.

a) Схема проверки вертикальных настроенных шин совместно с дешифратором D_1 показана на рис. 6. Перед проверкой в контур α_{D_1} записывается ток. На входы дешифратора подается код, соответствующий проверяемойшине настройки. При отсутствии сверхпроводящего пути и после того, как старт ток в контуре α_{D_1} ,

*). Испытания в жидким гелием проводились в Харьковском физико-техническом институте.

Таблица 2

Вид неисправности						Функция, выполняемая элементом
Обрыв ad	Обрыв $abcd$	Обрыв med	Обрыв α_1	Обрыв α_2	Обрыв α_3	
—	—	—	—	—	—	D'' , D'
—	—	—	—	—	—	F''
—	—	—	—	—	—	F'', D''
—	—	—	—	—	—	D'' , D'
—	—	—	—	—	—	D''
—	—	—	—	—	—	F''
—	—	—	—	—	—	D''
—	—	—	—	—	—	D'
—	—	—	—	—	—	F''
—	—	—	—	—	—	D''

ток питания дешифратора D_2 переключится в параллельный сверхпроводящий путь и переведет вентиль криотрона K_{unq} в нормальное

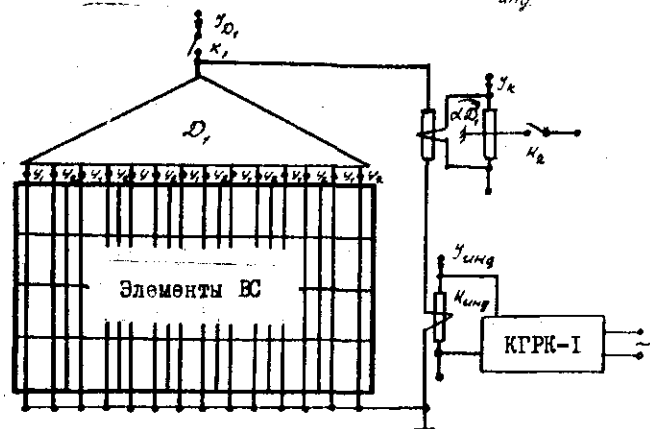


Рис. 6

ное состояние. При этом ток питания I_{unq} индикаторного криотрона переключится в КГРК-1, что, в свою очередь, приведет к появлению релаксационных колебаний на выходе генератора.

Таким образом, по наличию колебаний или отсутствию таковых на выходе генератора можно судить о неисправности или исправности дешифратора и настроочных шин.

б) Проверку горизонтальных настроочных шин, блока памяти и дешифратора D_2 можно осуществить по схеме, приведенной на рис.7. Проверка дешифратора D_2 осуществляется с помощью КГРК-3. Перебирая все выходы дешифратора D_2 , по наличию (отсутствию) колебаний на выходе КГРК-3 можно определить неисправность (исправность) каждого выхода дешифратора.

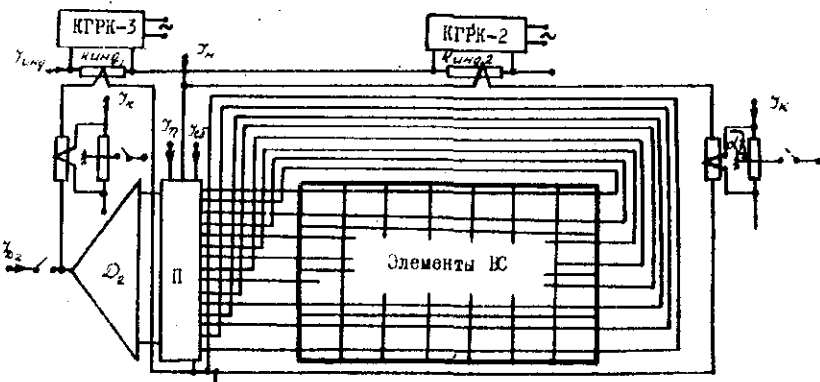


Рис. 7

Проверка блока памяти и горизонтальных настроочных шин ведется с помощью КГРК-2. Если после записи тока в контур β_i (рис. 4) включить ток I_h , то для него будет существовать один единственный сверхпроводящий путь — горизонтальная настроочная шина, включенная параллельно вентилю криотрона K_{unq} . Если после этого стереть ток в контуре α_{D_2} (рис.7), то вентиль криотрона K_{unq} останется в сверхпроводящем состоянии, и на выходе КГРК-2 не будет колебаний. При обрыве горизонтальной настроочной шины ток I_h переключится в параллельный сверхпроводящий путь и переведет вентиль криотрона K_{unq} в нормальное состояние, а это, в свою очередь, повлечет за собой появление коле-

бий на выходе КГРК-2. При отсутствии колебаний на выходе, что может явиться следствием неисправности β_i (вентиль криотрона K_{β_i} сверхпроводит), и при наличии обрыва в горизонтальной пасстроечной шине необходимо подать ток $I_{\text{об}}$, который переведет вентиль криотрона K_{β_i} в нормальное состояние. Если β_i исправен, то на выходе КГРК-2 появятся колебания, если колебаний нет, то это говорит о том, что в контуре β_i не записался ток и вентиль криотрона K_{β_i} находится в сверхпроводящем состоянии. Однако даже наличие колебаний, когда подан ток $I_{\text{об}}$, может быть обусловлено обрывом вентиля K_{β_i} . Поэтому необходимо проделать следующую процедуру: включить ток питания дешифратора D_2 и стереть ток в контуре β_i . Если после этого на выходе генератора не будет колебаний, то ток в контуре β_i записывается и в вентиле криотрона K_{β_i} нет обрыва. Однако если колебания на выходе генератора останутся, то можно утверждать, что в K_{β_i} есть "обрыв". Проверка контура β_i в этом случае возможна только после устранения "обрыва" вентиля K_{β_i} .

Б) Проверка элементов в вычислительной среде. Проверить элементы можно по схеме, показанной на рис.8. С помощью дешифраторов D_4 и D_5 осуществляется подключение КГРК-4 к горизонтальным информационным ши-

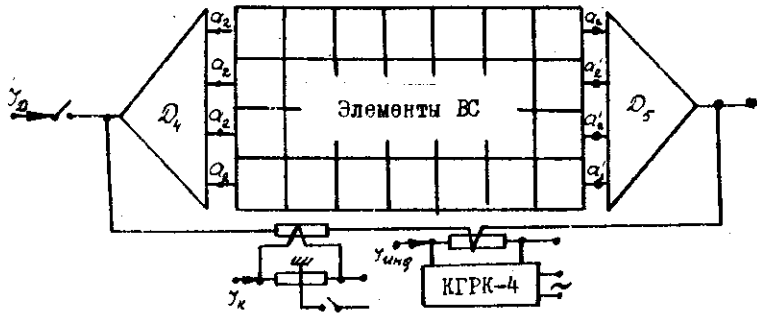


Рис. 8

кам для контроля выполнения элементами всех функций. Неисправности элементов обозначим следующим образом:

γ_F - элемент, выполняющий только функцию F ;
 $\gamma_{F,D}$ - элемент, выполняющий функции F и D ;

$\gamma_{D,P}$ - элемент, выполняющий функции D и P ;

γ - элемент, выполняющий все функции.

Выполнение элементом функции H_P является самым желательным, поскольку при появлении нескольких таких неисправностей в одном столбце часть элементов среди оказывается шунтирована сверхпроводящей ветвью, и поэтому не может быть проверена и использована при реализации схем в среде. Так, например, для случая, изображенного на рис.9, шунтированными оказываются элементы 2-го и 5-го столбцов, находящиеся между 6-й и 9-й строками.

/	2	4	6	8	m	/
1						1
		a_1		a'_1		
		a_4		a'_4		
		a_2		a'_2		
		a_3		a'_3		
		a'_1		a'_4		
2						2
3						3
4						4
5						5
6						6
7						7
8						8
9						9

Рис. 9

/	2	4	6	8	10	12	14	16	18	20	/
1	D	1									
	D										
	D										
	D										
	D										
2											2
3											3
4											4
5											5
6											6
7											7
8											8
9											9
10											10
11											11
12											12
13											13
14											14
15											15
16											16
17											17
18											18
19											19
20											20

Рис. 10

H_F - элемент, выполняющий только функцию F ;

$H_{F,D}$ - элемент, выполняющий функции F и D ;

$H_{D,P}$ - элемент, выполняющий функции D и P ;

γ - элемент, выполняющий все функции.

Тест контроля среды. Введем некоторые обозначения:

n - число строк среды,

m - число столбцов среды,

f_i - выходная функция i -й строки,

$X(x_1, x_2, \dots, x_m)$ - множество входных переменных,

A_{ij} - элемент вычислительной среды в i -й строке, j -ом столбце ($i = 1, 2, \dots, n$, $j = 1, 2, \dots, m$).

Проверка количества элементов, выполняющих функцию H_p , в столбце. Производя настройку всех элементов вычислительной среды на " \mathcal{D} " (рис. I0) и подавая на вход z -й строки ($z = 1, 2, \dots, n-1$) единичный сигнал y_z , по значениям выходной функции f_{i+k} ($k = 1, 2, \dots, n-i$) строим функцию

$$\Phi = \sum_{i=1}^{n-1} F_i, \text{ где } F_i = \sum_{k=1}^{n-i} f_{i+k}.$$

При этом:

- а) если $\Phi = 0$, то количество элементов, выполняющих функцию H_p , в столбце не более одного;
- б) если $\Phi = 1$, то количество элементов, выполняющих функцию H_p , в столбце больше одного, и рассматриваемый тест не применим для контроля элементов вычислительной среды.

При выполнении условия $\Phi = 0$ определяются функции, выполняемые каждым элементом.

Проверка выполнения элементами функции H_p . Все элементы настраиваются на " \mathcal{D} " (рис. II). На входы подается набор переменных $(x_1, x_2, \dots, x_m) = (1, 1, \dots, 1)$.

x_1	x_2	x_3	x_4	x_5	x_6	x_7	x_8
\mathcal{D}							
\mathcal{D}							
\mathcal{D}	\mathcal{D}	H_p	\mathcal{D}	\mathcal{D}	\mathcal{D}	\mathcal{D}	H_p
\mathcal{D}							

Рис. II

случае находятся с помощью диагностического теста. Для нахождения элементов H_p на входы $(x_1, \dots, x_j, \dots, x_m)$ подается набор переменных $(0, \dots, 1, \dots, 0)$. При этом

- а) если $f_i = 1$, то элемент A_{ij} не выполняет функцию H_p ;
- б) если $f_i = 0$, то элемент A_{ij} выполняет функцию H_p .

2. Проверка выполнения элементами функции " F ". Все элементы настраиваются на " \mathcal{D} ", а проверяемый элемент A_{ij} на " F " (рис. I2).

На входы подается набор $(x_1, \dots, x_j, \dots, x_m) = (0, \dots, 1, \dots, 0)$.

При этом:

а) если $f_i = 0$, то элемент A_{ij} выполняет функцию " F ".

б) если $f_i = 1$, то элемент A_{ij} не выполняет функцию " F ".

x_1	x_2	x_3	x_4	x_5	x_6	x_7	x_8
\mathcal{D}							
\mathcal{D}	\mathcal{D}	\mathcal{D}	\mathcal{D}	F	\mathcal{D}	\mathcal{D}	\mathcal{D}
\mathcal{D}							
\mathcal{D}							

Рис. I2

3. Проверка наличия или отсутствия элементов H_p в строке. Элементы проверяемой z -й строки ($z = 1, 2, \dots, n$) настраиваются на " \mathcal{D} ", а все остальные строки на " P " (рис. I3). На вход любой строки, кроме z -й, подается единичный сигнал.

При этом:

а) если $f_i = 0$, то в строке нет элементов, выполняющих функцию H_p ;

б) если $f_i = 1$, то в строке имеются элементы, выполняющие функцию H_p .

4. Проверка выполнения элементами функции " P " для строк, в которых не содержится элементов, выполняющих функцию H_p . Элементы проверяемой строки настраиваются на " \mathcal{D} ", а все остальные на " P ". На вход любой строки, кроме проверяемой, подается единичный сигнал. Элементы проверяемой строки настраиваются поочередно на " P ". При этом:

а) если $f_i = 1$, то элемент выполняет функцию " P ";

б) если $f_i = 0$, то элемент не выполняет функцию P' .

Строки, в которых все элементы выполняют функции P и D , в дальнейшем будем называть "базовыми".

5. Тест для нахождения элементов, выполняющих функцию H_P , строится с использованием "базовой" строки. Все элементы настраиваются на D . Единичный сигнал подается на вход "базовой" строки, а по значению выходной функции проверяемой строки при перестройке элементов "базовой" на P' находятся координаты элементов, выполняющих функцию H_P в проверяемой строке (рис. 14), причем:

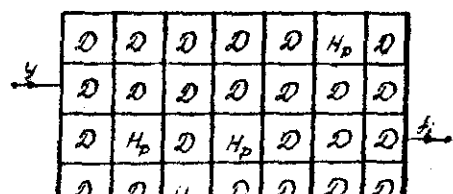


Рис. 14

а) если при настройке элемента "базовой" строки на P' $f_i = 1$, то элемент проверяемой строки выполняет функцию H_P ;

б) если $f_i = 0$, то элемент проверяемой строки не выполняет функцию H_P .

6. Проверка выполнения элементами функции P' для строк, в которых есть элементы, выполняющие функцию H_P . После нахождения элементов, выполняющих функцию H_P в проверяемой строке, соответствующие элементы "базовой" строки настраиваются на D , а остальные элементы на P' (рис. 15). На вход "базовой" строки подается единичный сигнал. Элементы проверяемой строки поочередно настраиваются на P' .

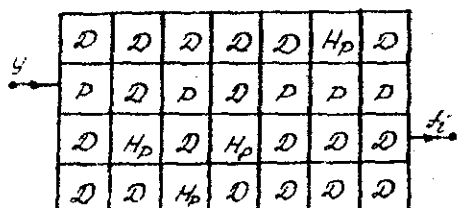
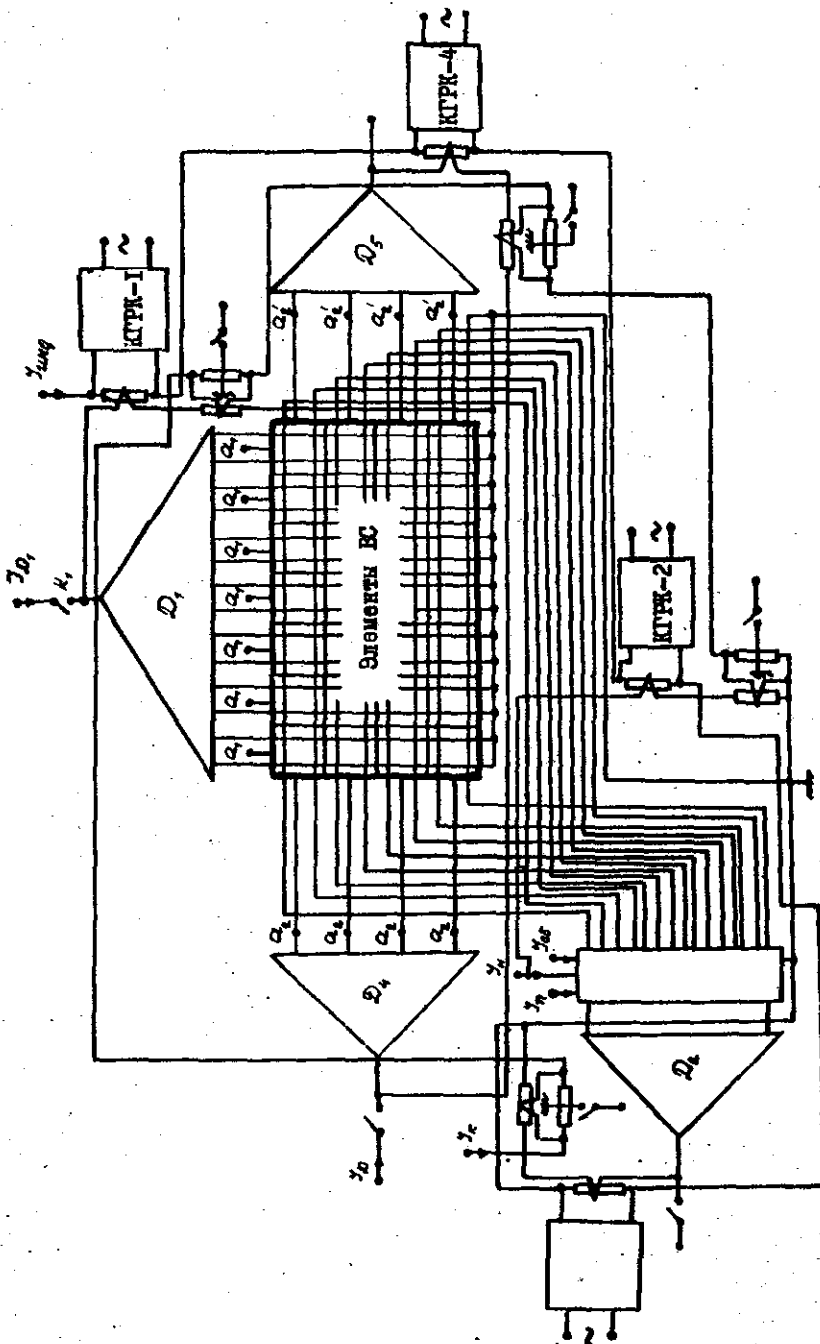


Рис. 15

При этом

а) если $f_i = 1$, то элемент выполняет функцию P' ;



б) если $f_i = 0$, то элемент не выполняет функцию P .

Полная блок-схема для контроля и диагностики неисправностей устройств настройки и элементов вычислительной среды приведена на рис. 16.

Общее число элементарных контрольно-диагностических тестов $B_{k,g}$, необходимое для проверки и диагностики неисправностей схем управления и элементов вычислительной среды, выражается следующей зависимостью:

$$B_{k,g} = m(2 + \nu + \mu) + \frac{\pi}{2}(19 + n + 4m) - \omega \gamma,$$

где ν и μ - соответственно число строк среды, содержащих элементы, выполняющие функции H_F и H_D ; ω - число элементов среды в строке, выполняющих функцию H_D .

При $m = n$ верхняя и нижняя оценки числа элементарных контрольно-диагностических тестов от числа неисправностей имеют следующий вид:

$$\frac{5N + 23\sqrt{N}}{2} \leq B_{k,g} \leq \frac{9N + 21\sqrt{N}}{2},$$

где N - число элементов вычислительной среды.

Л и т е р а т у р а

1. Я.С. КАН, В.А. РАХУБОВСКИЙ. Криотронный генератор релаксационных колебаний с управляемой частотой. - Приборы и техника эксперимента, 1966, № 1.
2. Э.В. ЕРЕМИНОВ, Д.Г. КОСАРЕВ. Однородные вычислительные системы высокой производительности. Новосибирск, "Наука" СО, 1967.

Поступила в редакцию
10/1 - 1970 г.